Наряду со стандартом [1] во ВНИИМ разработаны и согласованы со СНИИМ новые требования к метрологическим характеристикам (МХ) рабочих (вторичных) эталонов и разрядных РЭ во всем рабочем диапазоне частот 40—106 МГц (табл. 1. 2). Прежде вторичные эталоны применяли только при частоте 1 кГц (в табл. 1 выделены полужирным шрифтом), поэтому требования к их МХ при других частотах отсутствовали, в то время как разрядные РЭ и раньше эксплуатировали во всем частотном диапазоне. Требования к МХ для разрядных РЭ приведены в методиках поверки для мер индуктивности и взаимной индуктивности [2] и мостов переменного тока и аналогичных измерителей [3]. Однако в связи с сокращением количества разрядов и расширением диапазонов измерений (или номинальных значений) указанные выше требования к МХ уже не соответствуют новой ГПС. По этой и другим причинам указанные методики подлежат пересмотру. Поверочным органам до появления новых методик поверки при оценивании погрешностей РЭ следует руководствоваться табл. 1, 2.

В ряде случаев верхняя граница диапазона частот аттестации низкочастотных РЭ оказывается выше значения 1 МГц, смежного для обеих ГПС (например, для мер L-0170-2 и Р593 эта граница составляет 3 или 10 МГц). Тогда в свидетельстве о поверке с целью однозначного толкования целесообразно отметить, какой части ГПС соответствует присвоенный разряд РЭ. Например, в строке «... признано годным к применению» указывают «в качестве РЭ 1-го и 2-го разрядов в соответствии с ГОСТ Р 8.732—2011, соответственно части 1 и 2».

Для внедрения и успешного функционирования ГПС должны быть решены следующие основные задачи:

совершенствование и обновление на современной научно-технической базе выработавшего свой 30-летний ресурс государственного первичного эталона единицы индуктивно-

сти предыдущего поколения ГЭТ 15—79. Разработка теоретической и экспериментальной баз перехода к воспроизведению единицы индуктивности на основе квантового сопротивления Холла [4];

сокращение количества разрядов РЭ с трех до двух в высокочастотной схеме и приведение ее в соответствие с системой передачи единицы при низких частотах. Это позволит исключить ситуации, когда один эталон имеет различные разряды в рамках одной и той же поверочной схемы;

пересмотр методик поверки [2,3] с целью приведения их в соответствие с новой ГПС.

Новая ГПС отражает современные тенденции в области создания и выпуска СИ индуктивности, а именно: появление цифровых измерителей параметров иммитанса, имеющих расширенные диапазоны и повышенную точность измерений, и сокращение общего количества СИ индуктивности в стране. Разработанные требования к МХ рабочих (вторичных) эталонов и разрядных РЭ позволяют проводить поверку мер и измерителей индуктивности с учетом требований новой ГПС.

Литература

- 1. **ГОСТ Р 8.732—2011.** ГСИ. Государственная поверочная схема для средств измерений индуктивности.
- 2. **МИ 1985—89.** Рекомендация. ГСИ. Меры индуктивности и взаимной индуктивности. Методика поверки.
- 3. **ГОСТ Р 8.686—2009.** ГСИ. Мосты переменного тока уравновешенные. Методика поверки.
- 4. **24**th **meeting** of the General Conference on Weights and Measures (2011). Resolution 1.

Дата принятия 28.01.2013 г.

621.316.8

Электрические параметры делителей напряжения на основе тонкопленочных резисторов

А. Н. ЛУГИН

Научно-исследовательский институт электронно-механических приборов, Пенза, Россия, e-mail: niiemp@rambler.ru

Рассмотрены основные электрические схемы и параметры резисторных делителей напряжения и схем отношения, изготовленных по тонкопленочной технологии. Показана взаимосвязь коэффициентов деления и отношения, а также их отклонений.

Ключевые слова: тонкопленочная технология, набор резисторов, делитель напряжения, температурные характеристики.

The basic electrical circuits and parameters of thin-film resistor voltage dividers manufactured according to thin-film technology are considered. The interconnection of coefficients of the division and the relationship and of their deviations is shown

Key words: thin-film resistor, resistors set-up, voltage divider, division and relationship, temperature characteristics.

Тонкопленочные резисторы (ТПР) нашли широкое применение в технике благодаря своим высоким электрическим и эксплуатационным характеристикам, а также совместимости с конструктивным исполнением и технологией монтажа современных полупроводниковых микросхем. Они удовлетворяют жестким требованиям, предъявляемым к совре-

менной электронике, особенно в сфере цифровой техники, высокочастотной аппаратуры [1] и цифроаналогового преобразования сигналов.

Особое место в тонкопленочном резисторостроении занимают наборы резисторов. Благодаря положительным свойствам групповой технологии изготовления резисторы

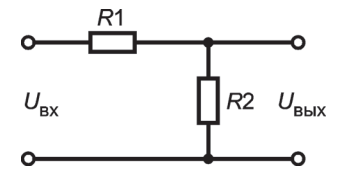


Рис. 1. Схема простейшего резисторного делителя напряжения, составленного из резисторов *R1* и *R2*:

 $U_{_{
m BX}},\ U_{_{
m BMX}}$ — входное и выходное напряжения

одного набора мало отличаются по температурной и временной стабильности сопротивления. В наибольшей степени это преимущество используется при построении резисторных делителей напряжения и схем отношения. Однако несмотря на широкое производство и распространение (см., например [1, 2]) до настоящего времени практически отсутству-

ет нормативная литература, в которой были бы приведены соотношения основных электрических параметров таких схем, в связи с чем их применение вызывает определенные трудности. Этого нет и в основополагающих стандартах [3—5]. Ниже рассмотрены основные электрические схемы и параметры резисторных делителей напряжения и схем отношения.

Простой делитель напряжения представляет собой четырехполюсник (рис. 1) в виде двух последовательно соединенных резисторов *R1* и *R2*. Его основной электрический параметр — коэффициент деления

$$K_{\Pi} = U_{\text{вых}} / U_{\text{вх}}$$
 или $K_{\Pi} = R_2 / (R_1 + R_2)$. (1)

Иногда, например, для установления коэффициента усиления в операционных усилителях для характеристики делителя напряжения используют коэффициент отношения

$$K_0 = R_2/R_1$$

и схему делителя напряжения в этом случае часто называют схемой отношения.

Таким образом, делитель напряжения и схема отношения в своей основе имеют одни и те же составляющие — резисторы *R1* и *R2*. Соответственно и их электрические параметры взаимосвязаны.

Другим основным электрическим параметром делителя напряжения, характеризующим точность преобразования напряжения, является относительное отклонение коэффициента деления от номинального значения $\delta K_{_{\! D}}$ [2, 4]:

$$\delta \mathcal{K}_{\mathbf{\Pi}} = \Delta \mathcal{K}_{\mathbf{\Pi}} / \mathcal{K}_{\mathbf{\Pi}};$$

$$\Delta \mathcal{K}_{\mathbf{\Pi}} = \mathcal{K}_{\mathbf{\Pi}.\mathsf{M}} - \mathcal{K}_{\mathbf{\Pi}} \quad \mathsf{MNM} \quad \Delta \mathcal{K}_{\mathbf{\Pi}} = \frac{\Delta U_{\mathsf{BbIX}}}{U_{\mathsf{BX}}} = \frac{\Delta R_2}{R_1 + R_2 + \Delta R_1 + \Delta R_2}, \tag{2}$$

где $\Delta K_{\rm g}$, $K_{\rm g,u}$ — абсолютное отклонение и измеренное (действительное) значение коэффициента деления; $\Delta U_{\rm вых}$, $\Delta R_{\rm 1}$, $\Delta R_{\rm 2}$ — абсолютные отклонения выходного напряжения и сопротивлений резисторов.

Тогда с учетом (1), (2) получим

$$\delta K_{\perp} = (1 - K_{\perp}) (\delta R_2 - \delta R_1),$$

где $\delta R_1 = \Delta R_1/R_1$, $\delta R_2 = \Delta R_2/R_2$ — относительные отклонения сопротивлений резисторов R1 и R2 от номинальных значений.

В этом случае относительное отклонение коэффициента отношения данной схемы [3]:

$$\delta K_0 = \delta R_2 - \delta R_1$$
.

Таким образом, для функциональной схемы рис. 1 отклонение выходного сигнала от номинального значения будет определяться несогласованностью сопротивлений резисторов. При приемке (поставке) эти сопротивления измеряют установленными методами [6].

На температурной стабильности скажется разница температурных коэффициентов сопротивления (ТКС) резисторов, на временной стабильности — разница в временной стабильности их сопротивления. Поскольку ТПР изготавливают по групповой технологии, т. е. группа резисторов формируется за один технологический цикл, их электрические параметры по температурной и временной стабильности будут близки друг другу и разница в изменении сопротивления при изменении температуры или времени у соседних резисторов будет минимальной. Например, в частном случае, когда относительные отклонения сопротивления резисторов в нормальных условиях равны, относительная погрешность коэффициента деления (отношения) будет нулевой, так же, как и при равных значениях ТКС и временной стабильности сопротивлений резисторов. Именно благодаря групповой технологии удается реализовать более точные делители напряжения, чем собранные из отдельных резисторов.

Коэффициенты деления и отношения связаны выражениями

$$K_0 = K_{\Pi}/(1 - K_{\Pi}); K_{\Pi} = K_0/(1 + K_0),$$

и поэтому всегда, зная один, можно найти другой. Так же взаимосвязаны относительные отклонения этих коэффициентов:

$$\delta K_{o} = \delta K_{n} / (1 - K_{n}), \ \delta K_{n} = \delta K_{o} / (1 + K_{o}).$$

Важными электрическими параметрами делителей напряжения и схем отношения являются температурные коэффициенты деления (ТККД) или отношения (ТККО), которые определяются изменением отклонений этих коэффициентов при изменении температуры окружающей среды [3]:

ТККД =
$$\delta K_{\mathrm{д}T} - \delta K_{\mathrm{д}T_{\mathrm{0}}}/(T-T_{\mathrm{0}});$$
 ТККО = $\delta K_{\mathrm{o}T} - \delta K_{\mathrm{o}T_{\mathrm{0}}}/(T-T_{\mathrm{0}}),$

где $\delta K_{\mathrm{q}T}$ ($\delta K_{\mathrm{o}T}$) — относительное отклонение коэффициента деления (отношения) при рабочей температуре T окружающей среды; $T-T_0$ — диапазон рабочих температур; T_0 — нормальная температура; $\delta K_{\mathrm{q}T_0}$, $\delta K_{\mathrm{o}T_0}$ — относительные отклонения соответствующих коэффициентов при нормальной температуре.

Необходимо отметить, что в сложных функциональных наборах резисторов — двоичных и двоично-десятичных резисторных делителях напряжения в отечественной практике в большинстве случаев используют приведенное отклонение выходного напряжения и его температурный коэффициент ТКПН [3]:

$$\delta U_{\mathrm{BbIX}} = \frac{1}{U_{\mathrm{BX}}} \sum_{1}^{n} \pm \left(U_{\mathrm{BbIX}_2} - U_{\mathrm{BbIX}_1} \right), \ \, \mathsf{TK\PiH} = \frac{\delta U_{\mathrm{BbIX}_T} - \delta U_{\mathrm{BbIX}_{T_0}}}{T - T_0},$$

где $U_{\text{вых1}}$, $U_{\text{вых2}}$ — абсолютные действительное (измеренное) и номинальное значения выходного напряжения при включении n-разрядного резистора; n — количество разря-

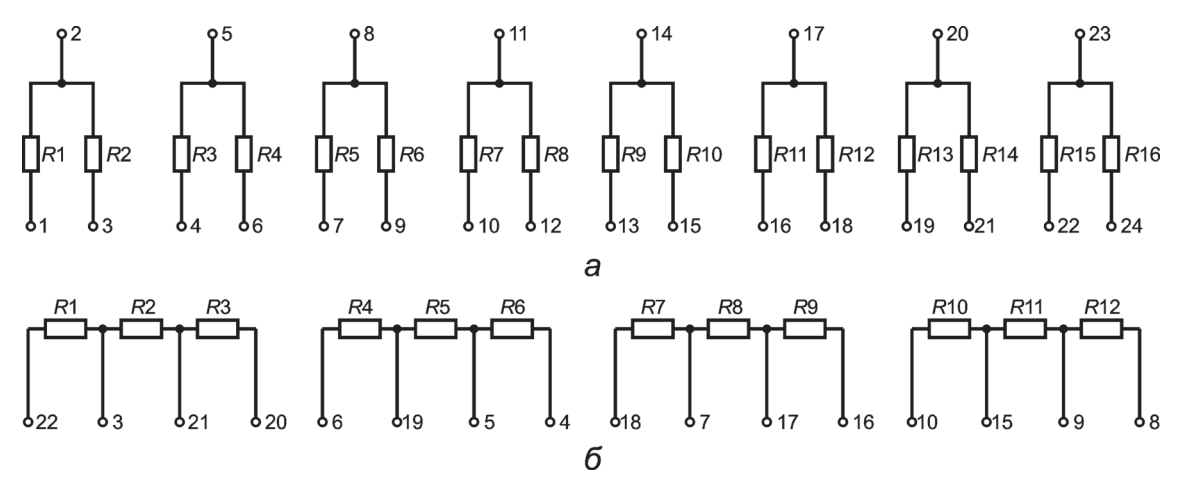


Рис. 2. Электрические схемы наборов резисторов: HP1-53-1-2 (a), HP1-53-1-1 (δ)

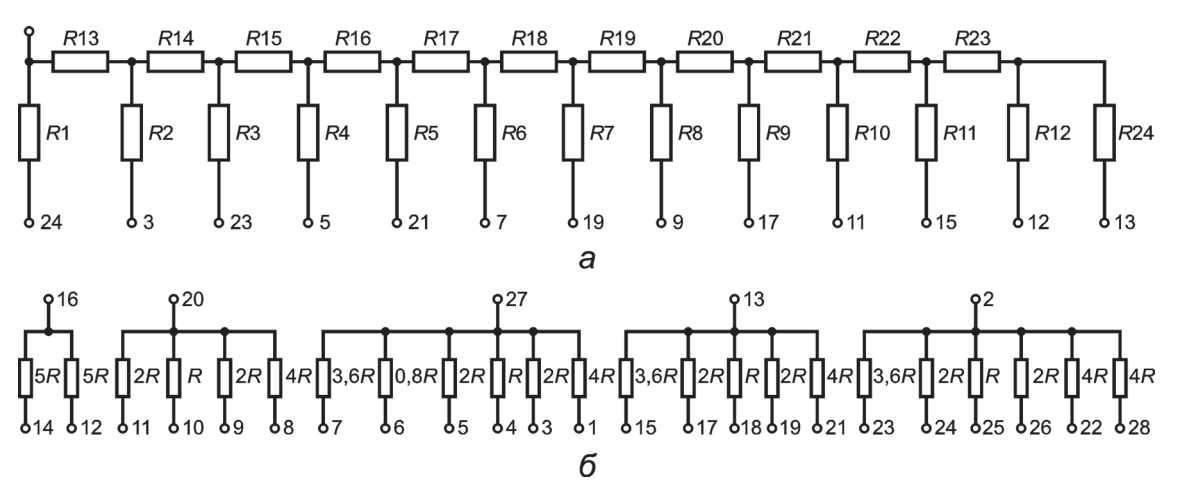


Рис. 3. Электрические схемы набора резисторов HP1-53-2-5 (a) и резистивной микросхемы 302HP4 (δ , где R=10 кОм)

дов функционального набора резисторов; $\sum_{1}^{n} \pm \left(U_{\text{вых}_{2}} - U_{\text{вых}_{1}}\right)$ — сумма поразрядных абсолютных отклонений напряжений со знаком «+» или «-»; $\delta U_{\text{вых}_{7}}$, $\delta U_{\text{вых}_{7}}$ — приведенные отклонения выходного напряжения при рабочей и нормальной температурах окружающей среды.

Изменение $\delta K_{\rm д}$ при воздействии температуры окружающей среды на делитель напряжения можно выразить в виде

$$\Delta \delta K_n = \delta K_n - \delta K_{nT}. \tag{3}$$

С учетом (1) с достаточной степенью точности можно принять $R_{1T}=R_{1T_0}\left(1+\alpha_1\Delta T_1\right),\,R_{2T}=R_{2T_0}\left(1+\alpha_2\Delta T_2\right),\,$ где $R_{1T},\,R_{2T},\,R_{1T_0},\,R_{2T_0}$ — сопротивления резисторов R1 и R2 соответственно при рабочей и нормальной температурах; $\Delta T_1=T_1-T_0,\,\Delta T_2=T_2-T_0$ — изменения температуры резисторов R1 и R2 относительно нормальной $T_0;\,T_1,T_2,\,\alpha_1,\,\alpha_2$ — температуры резисторов R1 и R2 и их ТКС. Тогда (3) можно записать в общем виде

$$\Delta \delta K_{\Pi} = (1 - K_{\Pi}) (\alpha_2 \Delta T_2 - \alpha_1 \Delta T_1), \tag{4}$$

При T_1 = T_2 = T; ΔT_1 = $T - T_0$ = ΔT_2 выражение (4) преобразуем как

$$\Delta\delta K_{_{\!\Pi}} = (1-K_{_{\!\Pi}})\left[(\alpha_2-\alpha_1)\left(T-T_0\right)\right],$$

и при α_2 = α_1 + $\Delta\alpha$, где $\Delta\alpha$ — разница (разброс) ТКС резисторов R1 и R2, получим

$$\Delta \delta K_n = (1 - K_n) \left[\Delta \alpha \left(T - T_0 \right) \right].$$

При $\Delta \alpha$ = α_2 – α_1 и T_2 = T_1 + ΔT выражение (4) можно записать в виде

$$\Delta\delta K_{_{\rm \! I\! I}} = (1-K_{_{\rm \! I\! I}}) \, [\alpha_2 \Delta T + \Delta \alpha \, (T_1-T_0)]. \label{eq:delta-K}$$

Отсюда следует, что $\Delta \delta K_{\rm L}$ зависит от ТКС резистора R2 и разброса температур резисторов R1, R2, а также от разности ТКС этих резисторов и отклонения температуры резистора R1 от нормальной. Если $T_{\rm 1}$, $T_{\rm 0}$ и $\alpha_{\rm 2}$ принять постоянными, то $\Delta \delta K_{\rm L}$ будет обусловлено разбросом ТКС и разницей температур нагрева резисторов, которые необходимо минимизировать для снижения $\Delta \delta K_{\rm L}$ в диапазоне рабочих температур.

Уменьшение ТКС резисторов в большей степени достигается конструктивно-технологическими способами при разработке и производстве наборов резисторов. Разброс же температуры резисторов зависит как от конструктивно-технологических особенностей набора, так и совершенства методов измерения. Так, этот разброс может быть связан с воздействием джоулева тепла, неравномерностью нагрева в динамическом электрическом режиме и нестационарными условиями работы. Поэтому при измерениях $\delta K_{_\Pi}$ при воздействии температуры необходимо уделять особое внимание, в первую очередь, разбросу температур резисторов и системе перемешивания воздуха внутри камеры. Аналогичный анализ можно провести для определения изменения $\delta K_{\scriptscriptstyle \Pi}$ делителей напряжения в процессе эксплуатации из-за наличия и разброса нестабильности сопротивления резисторов.

Примерами реализации наборов резисторов могут служить тонкопленочные делители напряжения, в которых имеются несколько групп делителей, необязательно соответствующих показанным на рис. 1, но параметры которых нормируются именно так, как это сделано для делителя согласно этому рисунку. Например, набор резисторов HP1-53-1-2 (рис. 2, а) имеет восемь групп делителей, подобно приведенным на рис. 1. В наборе резисторов HP1-53-1-1 (рис. 2, б) имеется четыре группы резисторов по три резистора в каждой, и в каждой группе измерения проводятся как на двух делителях напряжения, аналогичных представленным на рис. 1.

Примером реализации наборов резисторов, которые представляют сложные функциональные схемы, являются

резистивные сетки [1] двоичные, например R—2R типа HP1-53-2-5 (рис. 3, a), и двоично-десятичные, например R—2R—4R, типа 302HP4 (рис. 3, δ).

Дополнительно необходимо отметить, что нормирование $\delta K_{\rm L}$ ($\delta K_{\rm O}$) тонкопленочных делителей напряжения (схем отношения) проводится для любого рабочего значения входного напряжения в пределах допустимого. Это позволяет получать изделия с более высокими характеристиками, чем при их изготовлении из отдельных резисторов того же класса, поскольку контроль и нормирование электрического сопротивления согласно [6] проводится при мощности не выше 0,1 номинальной, т. е. в отсутствие нагрева от джоулева тепла.

Литература

- 1. **Крюков М.** Высокостабильные тонкопленочные чипрезисторы фирмы Phycomp// Компоненты и технологии. 2003. № 4
- 2. **Резисторы:** Справочник / Под ред. И. И. Четверткова, В. М. Терехова. М.: Радио и связь, 1991.
- 3. **ОСТ В 11 0658—88.** Наборы резисторов. Общие технические условия.
 - 4. ГОСТ 21414—75. Резисторы. Термины и определения.
- 5. **ОСТ 11 072.009—81.** Наборы резисторов. Основные параметры.
- 6. ГОСТ 21342.20—78. Резисторы. Методы измерения сопротивления.

Дата принятия 22.08.2012 г.

621.3.049.77.002

Исследование влияния схемы включения на характеристики трехколлекторного магнитотранзистора

В. В. АМЕЛИЧЕВ, Р. Д. ТИХОНОВ, А. А. ЧЕРЕМИСИНОВ

Научно-производственный комплекс «Технологический центр» МИЭТ, Москва, Россия, e-mail: CheremisinovAA@gmail.com

Экспериментально исследованы чувствительность и начальный разбаланс напряжения между коллекторами двухколлекторного латерального биполярного магнитотранзистора прп-типа с базой, сформированной в кармане, который служит третьим коллектором. Показано, что магниточувствительность по напряжению достигает 11 В/Тл в схеме с общим смещением базы и кармана, при этом можно получить начальный разбаланс напряжения между коллекторами менее 1 мВ.

Ключевые слова: биполярный магнитотранзистор, начальный разбаланс, магниточувствительность.

The sensitivity and the initial offset of voltage between collectors of double-collector lateral bipolar npn-type magnetotransistor with the base formed in pocket serving as the third collector are investigated experimentally. It is shown that the voltage magnetosensitivity is 11 V/T in the circuit with the total drift of the base and pocket and the initial offset of the voltage between collectors could be reduced to less than 1 mV.

Key words: bipolar magnetotransistor, initial offset, magnetosensitivity.

Наиболее подробно исследованным вариантом биполярного магнитотранзистора (БМТ) является латеральный магнитотранзистор в кармане и с поверхностным охранным кольцом, который назван в [1] магнитотранзистором с по-

давлением боковой инжекции SSIMT (Suppressed Sidewall Injection MagnetoTransistor) и механизмом чувствительности, определяемым двойным отклонением носителей заряда. Полное описание характеристик SSIMT дано в [2]. Введе-